

|    | 箇所                                | 誤   | 正   |
|----|-----------------------------------|---|---|
| 1  | p.4, 40 1.5 記号<br>6行目             | $\Delta H_i$ : 材料 i の単位発熱量 (材料の単位重量あたりの発熱量) [MJ/Kg] | $\Delta H_i$ : 材料 i の単位発熱量 (材料の単位質量あたりの発熱量) [MJ/Kg]             |
| 2  | p.4, 40 1.5 記号<br>7行目             | $G_i$ : 材料 i の重量[kg]                                | $G_i$ : 材料 i の質量[kg]  |
| 3  | p.4, 40 1.5 記号<br>[英字記号 (小文字)]に追加 |   | $q_0$ : 設置面積あたりの発熱速度[kW/m <sup>2</sup> ]                        |
| 4  | p.5, 41 11行目                      | D: 代表長さ (火源の幅, 直径) [m], 直径(火源代表径)[m]                | D: 代表長さ (火源の幅, 直径, 線火源の幅, 辺の長さが等しいL型火源の1辺の長さ) [m], 直径(火源代表径)[m] |
| 5  | p.7, 43 20行目                      | $\rho_a, \rho_0$ : 空気密度[kg/m <sup>3</sup> ]         | $\rho_a, \rho_0$ : 空気密度, 空気層密度[kg/m <sup>3</sup> ]              |
| 6  | p.7, 43 23行目                      | $\Delta\rho$ : 密度差[kg/m <sup>3</sup> ]              | $\Delta\rho$ : 密度差[kg/m <sup>3</sup> ] (= $\rho_a - \rho_s$ )   |
| 7  | p.9, 45 20行目                      | $\alpha$ : 開口係数[-]                                  | $\alpha$ : 開口係数[-], 熱拡散率[m <sup>2</sup> /s]                     |
| 8  | p.11 2, 5行目                       | 「、」(3カ所有り)  | 「,」   |
| 9  | p.11, p48 2.2 枠書き                 | ・・・用いる火災荷重には,・・・                                    | ・・・用いる火災荷重は,・・・   |
| 10 | P17 4行目                           | 煙制御計画指針(案)  | 煙制御計画指針   |
| 11 | P23<br>1行目, 下から5行目                |   | 文頭にスペースを入れる   |
| 12 | P35 下から3行目                        | (極薄材料)  | (極薄材料),   |
| 13 | P38 表 1.4.1<br>概要の上から2行目          | 火炎からの輻射などが  | 火炎からの放射などが  |
| 14 | P39 表 1.4.2                       | 火災区画内温度[°C]   | 火災区画内温度   |
| 15 | P41 3行目                           | 火災の表面積  | 火災の表面積  |
| 16 | P45 24・29行目                       | 火災区画  | 火災区画  |
| 17 | p.47(解説)5行目                       | 全体火災  | 区画内全体火災   |
| 18 | p.47(解説)10行目                      | 避難よりも   | 避難時よりも  |
| 19 | p.47 表 2.0.1                      | フェーズ0   | (削除する)  |
| 20 | p.47 表 2.0.1<br>(表内3か所)           | フェーズ4   | フェーズ3   |
| 21 | p.47 2.1 枠書き                      | 器具等の  | 器具等からの  |
| 22 | p.48(解説)<br>第3段落 4行目              | 行われる.   | 行われるので,   |
| 23 | p.49(解説)                          | 固定可燃物とは   | 固定可燃物には   |

|    |                            |   |  |
|----|----------------------------|---|--|
|    | 第1段落 3行目                   |   |  |
| 24 | p.50 表 2.3.1<br>表題         | 単位重量あたりの  | 単位質量あたりの   |
| 25 | p.50 5行目                   | 告示 <sup>7)</sup>  | 国土交通省告示 <sup>9)</sup>  |
| 26 | p.51<br>式(2.3.6)の下         | ここで $W_{load}$ :  | ここで $w_{load}$ :<br>(小文字にする)   |
| 27 | p.51<br>下から 7 行目           | 収納状態を無視して   | 収納状態に関わらず  |
| 28 | P51<br>下から 2 行目            | 告示 <sup>9)</sup>  | 国土交通省告示 <sup>9)</sup>  |
| 29 | p.51 表 2.3.3 の下に<br>凡例追加   |   | $H_{ch}$ : 天井高さ[m]   |
| 30 | p.52<br>表 2.3.4<br>郵便局の備考  | K 局<br>Y 局  | K 局 <sup>注1)</sup><br>Y 局 <sup>注1)</sup><br>[注 1 の追記]  |
| 31 | P57 表 2.3.4 の注釈の番号と<br>注釈  | 注 1) 展示区画面積あたり<br>注 2) 発熱量密度は床面積に反比例し, $Ar \times qr = 200MJ$ という相関式が提案されている. | 注 1) 標準偏差は時刻変動に対応<br>注 2) 展示区画面積あたり<br>注 3) 発熱量密度は床面積に反比例し, $Ar \times qr = 200MJ$ という相関式が提案されている. |
| 32 | p.59<br>式(2.3.8)の 1 行下     | $V^{-1/3}$  | $V^{-1/3}$<br>[V と-の間を少しあける]   |
| 33 | p.59<br>式(2.3.8)の 2 行下     | と同様の関係がある.  | のように次の関係がある.   |
| 34 | p 59<br>13~14 行目           | 露出表面積は減少する.   | 露出表面積の増加は鈍くなる.   |
| 35 | p59 16 行目                  | 国土交通省告示 <sup>7)</sup>   | 国土交通省告示 <sup>9)</sup>  |
| 36 | p.63(解説)<br>第 3 段落 4 行目    | 判らないが   | 判らないので   |
| 37 | P64 5 行目                   | さらに主たる  | さらに形式、主たる  |
| 38 | p66 図 3.1.1<br>p82 図 3.2.1 | 成長  | 初期成長<br>[訂正図あり]  |
| 39 | p.66 6 行目                  | ある程度決まる   | ある程度確定できる  |
| 40 | P67<br>表 3.1.3 の 1 行目      | 重量[kg]  | 金属フレームを除いた重量(総重量)[kg]  |
| 41 | P68 10 行目                  | 200~650 k W   | 400~750 k W  |

|    |   |  |  |
|----|---|--|--|
| 42 | p70 6行目   | 0.012  | 0.012  |
| 43 | p70 7行目   | 146±197kW  | 143±100kW  |
| 44 | P68表 3.1.4<br>P69表 3.1.6<br>P71表 3.1.8<br>P73表 3.1.10 | 定常燃焼時間   | 定常燃焼継続時間   |
| 45 | p75<br>図 3.1.10                                       | 平均-標準偏差 (傾き 151)   | 平均-標準偏差 (傾き 152)<br>(訂正図あり)  |
| 46 | p76<br>図 3.1.12                                       | 図中の矢印のずれ   | (訂正図あり)  |
| 47 | p.77 3行目  | どちらかという情報  | どちらであるかという情報   |
| 48 | P76、1行目<br>P76、5行目                                    | 燃焼継続時間   | 定常燃焼継続時間   |
| 49 | p 84<br>6行  | 図 3.2.5, 図 3.2.6 は図 3.2.3 に示した   | 図 3.2.6 は図 3.2.5 に示した  |
| 50 | P85 図 3.2.7   | 0秒経過   | 出火時  |
| 51 | p90<br>表 3.2.2 2)<br>(凡例)                             | D : 火源の代表長さ (幅, 直径) [m]  | D : 代表長さ (火源の幅, 直径) [m]  |
| 52 | p.90<br>2)平均火炎高さ<br>算定式 3行目                           | $L_c = kD \begin{cases} Q^{*2/3} & (Q^* < 1) \\ Q^{*2/5} & (Q^* \geq 1) \end{cases} \quad (k = 3.3)$ | $L_m = kD \begin{cases} Q^{*2/3} & (Q^* < 1) \\ Q^{*2/5} & (Q^* \geq 1) \end{cases} \quad (k = 3.3)$ |
| 53 | p95<br>表 3.2.8  | 表 3.2.8 天井に接炎する場合を想定した線火源の隅角部の火炎高さ   | 表 3.2.8 天井に接炎する場合を想定した線火源の隅角部の展炎長さ   |
| 54 | (タイトル   | 1)連続火炎高さ   | 1)連続展炎長さ   |
| 55 | および凡例)  | R <sub>c</sub> : 連続火炎長さ  | R <sub>c</sub> : 連続展炎長さ  |
| 56 |   | 2)間歇火炎高さ   | 2)間歇展炎長さ   |
| 57 |   | R <sub>i</sub> : 間歇火炎長さ  | R <sub>i</sub> : 間歇展炎長さ  |
| 58 | p.100<br>表 3.2.9 1)~3)凡例 3カ所                          | Δz : 仮想点熱源の位置[m],  | Δz : 仮想点熱源の位置[m]<br>(最後のカンマが不要)  |
| 59 | P98   | Eq (3)   | Eq (1)   |
| 60 | 6行目   | Eq (8)   | Eq (7)   |
| 61 | P98 7行目   | Eq (12)  | Eq (9)   |
| 62 | P106  | Q* : 無次元発熱速度[-]  | Q* : 無次元発熱速度 (= Q/(c <sub>p</sub> ρ <sub>0</sub> T <sub>0</sub> √gH <sup>5/2</sup> )) [-]            |

|    |   |   |   |
|----|---|---|---|
|    |   |   | $c_p$ : 定圧比熱 [kJ/kgK]<br>$\rho_0$ : 空気密度 [kg/m <sup>3</sup> ]                               |
| 63 | p111<br>15行目  | $z$ : 煙層厚さ[m]                                   | $z$ : 煙層と空気層の境界の高さ[m]   |
| 64 | P114 式(3.2.39)<br>P115 6行目<br>P116 式(3.2.41)<br>P116 2行目<br>P117 24行目 | $A_w$   | $A_T$   |
| 65 | P114 26行目   | $A_w$ : 煙層に曝される部分 (天井, 壁) の有効熱面積                | $A_T$ : 煙層に曝される部分 (天井, 壁) の有効伝熱面積   |
| 66 | p.114 式(3.2.39)<br>p.115 1,2,6行目<br>p.116 式(3.2.41)<br>p117 11, 24行目  | $h$   | $h_k$   |
| 67 | p.114 下から2行目<br>P116 7行目  | $h$ : 総合熱伝達率 [kW/m <sup>2</sup> K]              | $h_k$ : 実効熱伝達率 [kW/m <sup>2</sup> K]  |
| 68 | P123 式(3.3.4)<br>P123 14行目  | $R_L$   | $R$   |
| 69 | P124<br>式 (3.3.8)   | $q'' = F_s \varepsilon (T_s^4 - T_{surface}^4)$ | $q'' = F_s \varepsilon \sigma (T_s^4 - T_{surface}^4)$                                      |
| 70 | P124<br>20行目に追記   |   | $\sigma$ : ステファンボルツマン定数 ( $=5.67 \times 10^{-11}$ )<br>[kW/m <sup>2</sup> /K <sup>4</sup> ] |
| 71 | p130<br>10行目  | 2.2 に示した  | 2.3 に示した  |
| 72 | P130 22行目<br>P136 22行目  | 収納可燃物の表面積[m <sup>2</sup> ]                      | 可燃物の表面積[m <sup>2</sup> ]  |
| 73 | p130 15, 23, 24,29 行目<br>p131 2, 4 行目                                 | 収納可燃物   | 積載可燃物   |
| 74 | p130 式(4.2.1)の凡例  | $A_r$ :床面積                                      | $A_r$ :火災区画内の床面積  |
| 75 | p132<br>式(4.2.7)及び11行目  | $v(z)$  | $v(z)$<br>[下付きをやめる]   |
| 76 | p132 18行目   | $\Delta\rho$ : 気体密度差[kg/m <sup>3</sup> ]        | $\Delta\rho(=\rho_0-\rho_f)$ : 気体密度差[kg/m <sup>3</sup> ]                                    |
| 77 | p132<br>式 (4.2.8)   | $m_s = \alpha B \int_0^{H-Z_n} \rho_f v(z) dz$  | $m_s = \alpha B \int_{Z_n}^H \rho_f v(z) dz$  |

|    |   |                        |  |
|----|---|------------------------|--|
| 78 | p133 19行目(式4.2.13の上)<br>p133 式(4.2.13)<br>P136 22, 23行目 | $A\sqrt{H}$            | $A_{op}\sqrt{H_{op}}$  |
| 79 | p135<br>下から5行目  | 式(4.2.13)              | 式(4.2.6), (4.2.13)   |
| 80 | p137 式(4.2.27)  | $m_p$                  | $m_F$  |
| 81 | p137<br>21行目  | $m_p$ : 火災プルーム流量[kg/s] | $m_F$ : 可燃物の熱分解による可燃性ガスの生成速度[kg/s]   |
| 82 | P138<br>式(4.2.28), 式(4.2.29)                            | $T_F$                  | T  |
| 83 | p138<br>3行目   | $\alpha$ : 火災温度上昇係数[-] | $\alpha$ : 熱拡散率[m <sup>2</sup> /s]   |
| 84 | P139<br>図4.3.1  |                        | 以下の凡例追記 [訂正図あり]<br>z: 開口上端からの高さ[m]<br>x: 開口からの水平距離[m]<br>H': 開口噴流断面高さ[m]<br>B/(H-Zn) |
| 85 | p140<br>式(4.3.1)の $r_0$ の凡例                             | 開口部における噴出面を円形と         | 開口部における噴出火炎面を円形と   |
| 86 | p140  | $\Delta T_0$           | $\Delta T_0$ [0(ゼロ)がo(オー)になっている]   |
| 87 | 式(4.3.2)  | $r_0$                  | $r_0$ [0(ゼロ)がo(オー)になっている]  |
| 88 | P141 1行目に追記<br>(以下、1行繰り下げ)                              |                        | $m_g$ : 開口からの高温ガス流出量(=0.5 $A_{op}\sqrt{H_{op}}$ )[kg/s]                              |
| 89 | P141 6行目  | z: 開口上端からの鉛直距離[m]      | z: 開口上端からの中心軸に沿った距離[m]   |
| 90 | p141 3行目  | 実験結果の上限を包絡するよう曲線を導くと、  | 実験結果を回帰するように曲線を導くと、  |
| 91 | p146<br>表5.2.1 タイトル                                     | フラッシュオーバーの発生条件となる発熱速度  | フラッシュオーバーの発生条件となる発熱速度 <sup>5),6)</sup>   |
| 92 | p146 表5.2.1の凡例  | $A_T$ : 火災区画内表面積       | $A_T$ : 火災区画内表面積   |
| 93 | p147 32行目   | データは得られない              | データは得られていない  |
| 94 | p148 17行目   | フラッシュオーバー以降の盛期火災においては、 | フラッシュオーバー以降の区画内全体火災においては、  |
| 95 | p150<br>表A.2  | 収納状況(不燃性家具に収納などの状況)    | 収納状況(不燃性家具に収納されているなどの状況)   |
| 96 |   | *1: 盛期火災を対象と・・・        | *1: 区画内全体火災を対象と・・・   |
| 97 | p150 表A.3   | 構成材料の質量と材質             | 構成材料の重量と材質   |
| 98 | p151 5行目  | 写真撮影の3つに分けて            | 写真およびビデオ撮影の3つに分けて  |

|     |             |  |  |
|-----|-------------|--|--|
| 99  | p151 図 A.1  | 可燃物の寸法、材質の測定   | 可燃物の寸法測定と材質の記録   |
| 100 | p151 10 行目  | (2) 可燃物の形状と重量  | (2) 可燃物の寸法と重量および材質   |
| 101 | p155 5 行目   | 物品名と寸法からの材質  | 物品名と寸法からの推定  |
| 102 | p155 表 A.8  | 離隔距離   | 離隔距離[m]  |
| 103 | p156 1 行目   | $\Delta H_j$ は物品 j の単位重量あたりの発熱量[MJ]                                | $\Delta H_j$ は物品 j の単位質量あたりの発熱量[MJ/kg]                             |
| 104 | p156 式 A.3  | $W_{load} = \frac{\sum_j \alpha_i \Delta H_j \cdot W_j}{A_{room}}$ | $W_{load} = \frac{\sum_j \alpha_j \Delta H_j \cdot W_j}{A_{room}}$ |
| 105 | p156 12 行目  | ・ ・ 表 A.1 が提案されている 1).   | ・ ・ 表 A.10 が提案されている 1).  |
| 106 | p156 表 A.10 | 露出面積<br>凡例追加   | 露出表面積<br>(訂正表あり)   |
| 107 | p157 表 B.1  | 新聞古紙断熱材  | 新聞古紙断熱材  |

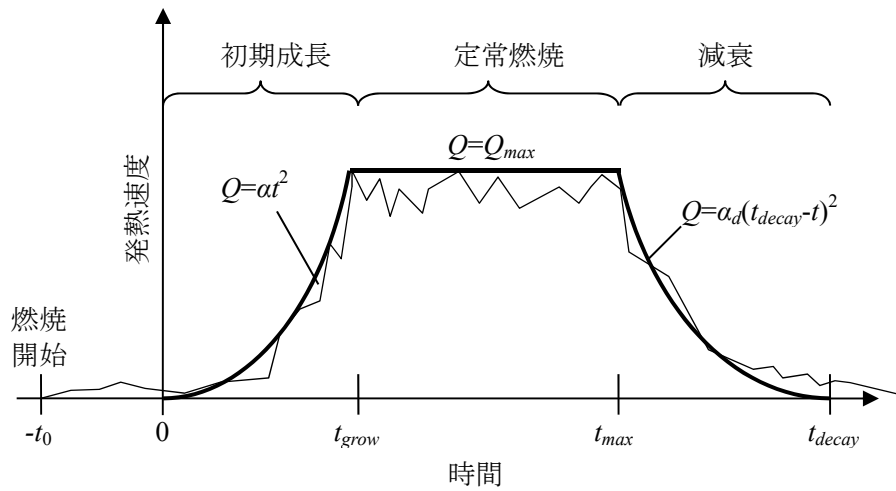


図 3.1.1, 図 3.2.1 発熱速度の時刻歴のモデル化

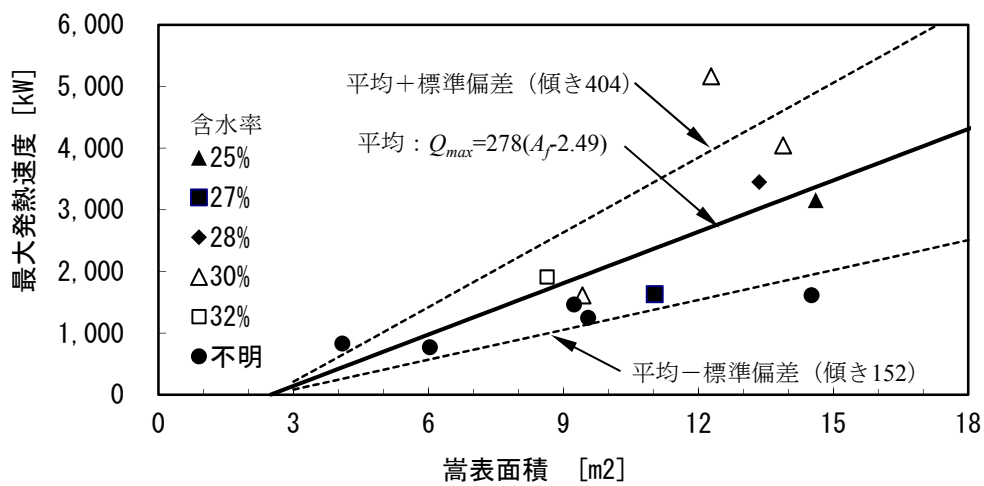


図 3.1.10 嵩表面積と最大発熱速度の相関関係( $Q_{max}/A_f=278\pm 126\text{kW/m}^2$ )

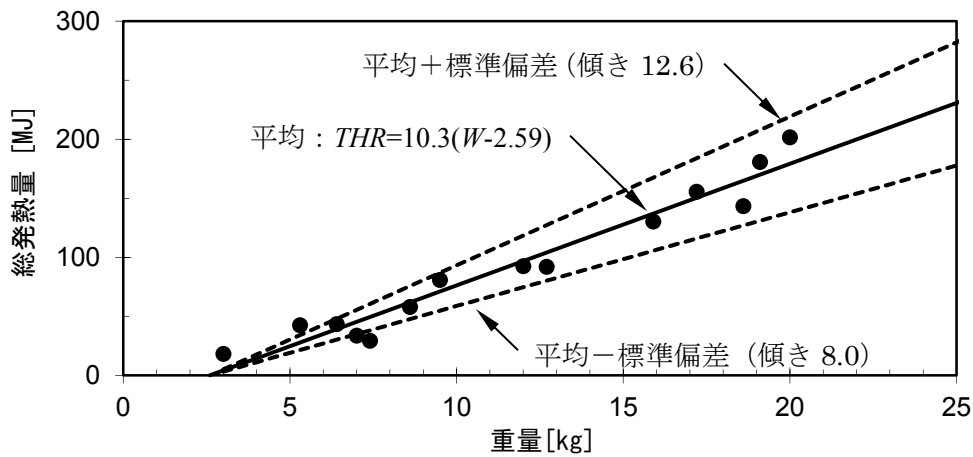
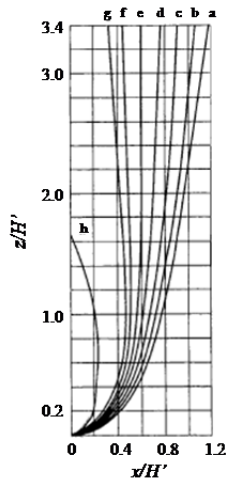


図 3.1.12 重量と総発熱量の関係



z: 開口上端からの高さ [m]  
 x: 開口からの水平距離 [m]  
 H': 開口噴流断面高さ[m] (図 4.2.2 参照)  
 アスペクト比: B/(H-Zn)

a: 窓の上方が自由空間の場合

b-h: 窓の上方に壁がある場合

| 記号 | アスペクト比 |
|----|--------|
| b  | 1      |
| c  | 1.5    |
| d  | 2      |
| e  | 2.5    |
| f  | 3      |
| g  | 3.4    |
| h  | 6.4    |

図 4.3.1 開口アスペクト比と開口噴出熱気流のトラジェクトリ

表 A.10 収納形態ごとの可燃物表面積の計算式

| 収納形態                           | 表面積の計算式           |
|--------------------------------|-------------------|
| 外廊が不燃性 (スチール製の戸) の家具に密閉されている場合 | $15A\sqrt{H}$     |
| 外廊が不燃性 (ガラス製の戸) の家具に密閉されている場合  |                   |
| 外廊が不燃性 (戸なし) の家具に密閉されている場合     |                   |
| 外廊が不燃性 (可燃性の扉) の家具に密閉されている場合   | $15A\sqrt{H} + A$ |
| その他の場合 (木質系可燃物)                | 露出表面積の実測値         |
| (プラスチック系可燃物)                   | 露出表面積の実測値×2       |

A: 不燃性家具の戸の面積 H: 不燃性家具の戸の高さ